

[6] Еременко В. Г., Никитенко В. И., Якимов Е. Б. Зависимость электрических свойств кремния от температуры пластической деформации и отжига. — ЖЭТФ, 1977, т. 73, в. 3, с. 1129—1139.

Научно-исследовательский институт
прикладных физических проблем
им. А. Н. Севченко при БГУ им. В. И. Ленина
Минск

Получено 15.01.1987
Принято к печати 21.07.1987

ФТП, том 22, вып. 3, 1988

ВЛИЯНИЕ ИНТЕНСИВНОСТИ ИМПУЛЬСНОГО ЭЛЕКТРОННОГО ОБЛУЧЕНИЯ НА ОБРАЗОВАНИЕ ДЕФЕКТОВ В *p*-КРЕМНИИ

Абдулсаттаров А. Г., Емцев В. В., Машовец Т. В.

При изменении интенсивности облучения может изменяться квазистационарная концентрация участвующих во вторичном дефектообразовании вакансий *V* и междузельных атомов *I*, поскольку вероятность разделения пар Френкеля определяется, в частности, уровнем ионизации и параметрами импульса.

Одно из возможных объяснений существования зависимости скорости образования вторичных дефектов от интенсивности облучения было предложено в [1], однако в этой работе использовалось облучение электронами с энергией 10 МэВ, и характер процесса дефектообразования не может быть в этом случае полностью описан в терминах создания изолированных пар Френкеля. В работе [2] было показано, что скорость образования *A*-центров в *n*-кремнии уменьшается с ростом интенсивности облучения при малых длительностях импульса.

В настоящей работе использовались образцы кремния *p*-типа, выращенного по методу Чохральского, с концентрацией бора $\sim 6 \cdot 10^{14} \text{ см}^{-3}$; концентрации кислорода и углерода, определенные по ИК поглощению, составляли соответственно $\sim 6 \cdot 10^{16}$ и $\sim 1 \cdot 10^{17} \text{ см}^{-3}$. Проводилось импульсное облучение быстрыми электронами с энергией ~ 1 МэВ. Частота следования импульсов $f_1 = 400 \text{ Гц}$ при длительности импульса $t_{\text{имп}} = 3 \text{ мкс}$, а также $f_2 = 368 \text{ Гц}$ при $t_{\text{имп}} = 200 \text{ мкс}$ [2]. Доза облучения варьировалась от $\sim 5 \cdot 10^{13}$ до $\sim 5 \cdot 10^{15} \text{ эл/см}^2$. Кинетика накопления дефектов была линейной в указанном диапазоне доз. При всех интенсивностях облучения температура образцов не превышала 40°C . Проводилось измерение температурных зависимостей концентрации и подвижности дырок в исходных и облученных образцах в интервале температур $20\text{--}300 \text{ К}$. Анализ этих зависимостей позволяет, с одной стороны, раздельно определить N_a и N_d , а с другой — независимым образом определить концентрацию компенсирующих центров [3].

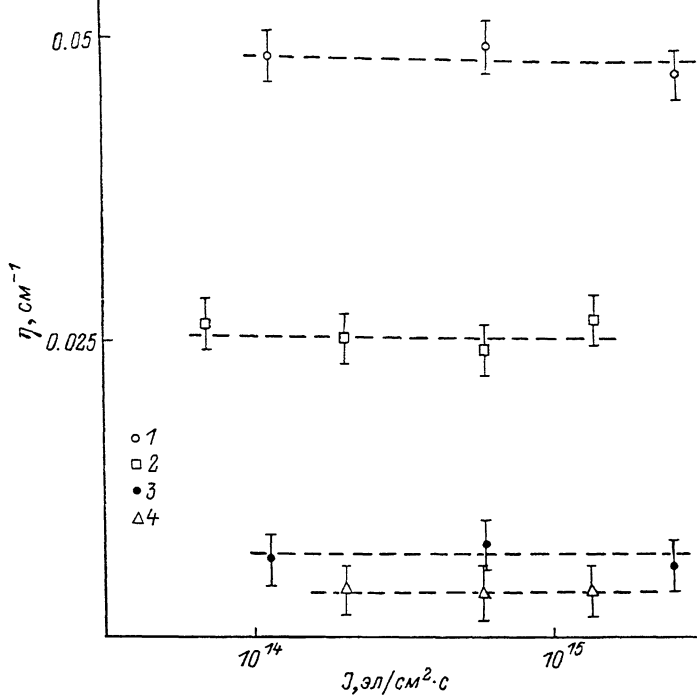
Основными центрами, возникающими в *p*-кремнии, облученном при $T = 300 \text{ К}$ электронами с энергией ~ 1 МэВ, являются *A*-центры, *K*-центры и дефекты, включающие в себя примесные атомы III группы (см., например, [4, 5]). *A*-центры в кремнии *p*-типа электрически нейтральны, поэтому мы проводили наблюдение за поведением *K*-центров и дефектов, включающих в себя примесные атомы бора.

На рисунке приведены зависимости скорости введения *K*-центров (1, 2) и скорости уменьшения концентрации мелких акцепторных состояний атомов бора $E_r + 0.045 \text{ эВ}$ (3, 4) от интенсивности в импульсе для двух длительностей импульса. Видно, что во всем исследованном интервале интенсивностей и длительностей импульса скорость введения *K*-центров не изменяется, но ее величина существенно различается при $t_{\text{имп}} = 200$ и 3 мкс . Как видно из рисунка, скорость уменьшения концентрации мелких акцепторных состояний атомов бора очень мала при обеих длительностях импульса, таким образом, доминирующим процессом является образование *K*-центров. Процессы взаимодействия вакансий и

межузельных атомов можно представить следующей схемой: $V + O_i \rightarrow [VO]$ (A -центр); $I + C_s \rightarrow C_i$; $[VO] + C_i \rightarrow [VOC]$ (K -центр).

Малая величина скорости уменьшения концентрации мелких акцепторных состояний бора объясняется, по-видимому, более эффективным взаимодействием собственных межузельных атомов с C_s вследствие большого различия концентраций углерода и бора. Необходимо отметить, что наблюдавшаяся в [6] при облучении электронами с энергией ~ 1 МэВ при постоянном токе пучка скорость введения K -центров составляет 0.025 см^{-1} , что хорошо согласуется с нашими данными при $t_{\text{имп}} = 200 \text{ мкс}$.

Различие скоростей введения K -центров при разных длительностях импульса может быть обусловлено различием скоростей аннигиляции межузельных ато-



Зависимость скорости введения K -центров (1, 2) и скорости уменьшения концентрации мелких акцепторных состояний атомов бора (3, 4) от интенсивности электронного облучения при $t_{\text{имп}} = 3$ (1, 3) и 200 мкс (2, 4).

мов с гомогенными вакансиями, поскольку при достаточно малой длительности импульса не все пары с исходным расстоянием между компонентами $d < d_{\text{max}}$ успевают проаннигилировать за время импульса. При облучении импульсами достаточно большой длительности скорость образования разделяющихся пар приближается к минимальной, характерной для непрерывного облучения. Таким образом, при заданной интенсивности облучения скорость введения K -центров (так же как и A -центров [1]) тем больше, чем короче импульс.

Авторы глубоко признательны В. И. Шаховцову и В. Н. Ломасову за предование возможности облучения электронами.

Л и т е р а т у р а

- [1] Лугаков П. Ф., Лукьянница В. В. Особенности радиационного повреждения кремния p -типа при различных интенсивностях электронного облучения. — Электрон. техн., сер. Материалы, 1982, № 2 (163), с. 38—40.

¹ Обозначение d_{max} введено в [7] для определения такого расстояния между гомогенными компонентами пары Френкеля, при котором они аннигилируют в условиях облучения с вероятностью, близкой к единице.

- [2] Абдусаттаров А. Г., Емцев В. В., Ломасов В. Н., Машовец Т. В. Скорость образования A -центров в кремнии при электронном импульсном облучении. — ФТП, 1986, т. 20, в. 1, с. 164—167.
- [3] Блекмор Дж. Статистика электронов в полупроводниках. М., 1964. 450 с.
- [4] Watkins G. D. — In: Rad. Dam. Semicond. Paris—Raymont, 1965, p. 97—113.
- [5] Stein H. I. — In: Rad. Eff. Semicond. London—N. Y.—Paris, 1971, p. 125—139.
- [6] Almeleh N. — Phys. Rev., 1966, v. 149, N 2, p. 687—692.
- [7] Витовский Н. А., Емцев В. В., Машовец Т. В. О распределении пар Френкеля, возникающих в германии при облучении, по расстояниям между их компонентами. — ФТП, 1983, т. 17, в. 11, с. 1985—1990.

Физико-технический институт
им. А. Ф. Иоффе АН СССР
Ленинград

Получено 12.02.1987
Принято к печати 21.07.1987

ФТП, том 22, вып. 3, 1988

О ТЕМПЕРАТУРНОЙ ЗАВИСИМОСТИ ЗОННЫХ ПАРАМЕТРОВ ДЫРОК В ТЕЛЛУРЕ

Горлей П. Н.

Наиизящая среди элементарных полупроводников симметрия кристаллической решетки и отсутствие в ней центра инверсии приводят к целому ряду уникальных особенностей физических свойств теллура. Например, достоверно установлено [1, 2], что энергетический спектр дырок в этом материале имеет необычный для полупроводников вид и при малых уровнях заполнения описывается соотношением

$$\varepsilon(k) = -Ak_z^2 - Bk_{\perp}^2 \pm \sqrt{E_1^2 + S^2 k_z^2} - \Delta', \quad (1)$$

где $\Delta' = E_1 - \varepsilon_{0p}$, $\varepsilon_{0p} = (E_2 - 2E_1)^2/(4E_2)$, $E_2 = S^2/A$. Нижний знак в (1) соответствует валентной зоне H_5 , верхний — зоне H_4 , от максимумов которой ведется отсчет энергии. Структура энергетических зон теллура схематично представлена на вставке к рисунку. Из опытных данных [3—8]

следует также аномальное изменение с температурой (см. рисунок) ширины запрещенной зоны E_g и величины расщепления $2E_1$ зон H_4 и H_5 теллура. Столь необычное изменение с ростом температуры E_g и E_1 должно привести и к нелинейной температурной зависимости зонных параметров дырок в теллуре. Знание последней весьма актуально, по-

Значения коэффициентов
формулы (5)

Коэффициент	E_g	$ E_1 $
$ E_1(0) $, мэВ	331.96	63.15
$\alpha_i \cdot 10^2$, мэВ/К	8.0	1.44
β_i , К	70.57	260.32
γ_i , К	316.0	578.76

скольку позволит более точно найти константы вещества, определяемые на основе сопоставления теоретических и экспериментальных данных.

Прежде всего отметим, что параметры A и B в (1) определяются следующим образом [9, 10]:

$$A = \hbar^2/[2m_{\parallel}(1 - 4E_1^2/E_2^2)], \quad (2)$$

$$B = \hbar^2/2m_{\perp} = L^2/E_g - \hbar^2/2m_0, \quad (3)$$

где m_{\parallel} и m_{\perp} — соответственно продольная и поперечная компоненты тензора эффективной массы дырок вблизи экстремума зоны, L — матричный элемент оператора импульса, \hbar — постоянная Планка, m_0 — масса свободного электрона.

Из (2), (3) следует, что $A = f[m_{\parallel}(T), E_1(T), E_2(T)]$, $B = \varphi[m_{\perp}(T)] = \psi[L(T), E_g(T)]$. Однако, согласно опытным данным [8, 11], величина E_2 с точностью до ошибок эксперимента не зависит от температуры и давления. Компонента тензора эффективной массы дырок m_{\parallel} пропорциональна энерге-